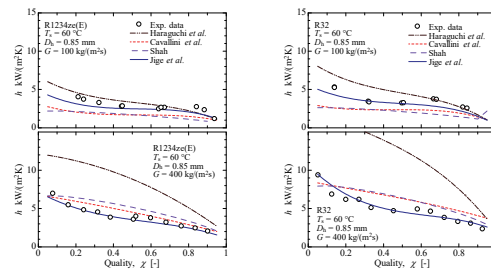


頁	行	誤	正																																																																																																																
p.5	図 1.2-1 中の縦軸および横軸	縦軸 : $Nu_x / \sqrt{Re_x}$ 横軸 : $Pr_L / (Fr_x Ja)$	縦軸 : $Nu_{Lx} / \sqrt{Re_{Lx}}$ 横軸 : $Pr_L / (Fr_x Ja_L)$																																																																																																																
p.5	下 9 行目	$Nu_x / \sqrt{Re_x}$	$Nu_{Lx} / \sqrt{Re_{Lx}}$																																																																																																																
p.5	下 8 行目	$Pr_L / (Fr_x Ja)$	$Pr_L / (Fr_x Ja_L)$																																																																																																																
p.5	下 7 行目	無次元数 $Nu_x = hx/k_L$ はヌセルト数, $Re_x = U_{vb}x/\nu_L$ は二相レイノルズ数	無次元数 $Nu_{Lx} = hx/k_L$ はヌセルト数, $Re_{Lx} = U_{vb}x/\nu_L$ は二相レイノルズ数																																																																																																																
p.5	下 6 行目	$Ja = c_{pL}(T_s - T_w) / \Delta i_v$ はヤコブ数,	$Ja_L = c_{pL}(T_s - T_w) / \Delta i_v$ は液のヤコブ数,																																																																																																																
p.29	式(2.2-151)	$\eta_{vi} = C_V \eta_{Li} / C_L$	$\eta_{vi} = \sqrt{\nu_L / \nu_V} \eta_{Li}$																																																																																																																
p.30	図 2.2-7 中の縦軸	$Nu_{Lx} / \sqrt{Re_x}$	$Nu_{Lx} / \sqrt{Re_{Lx}}$																																																																																																																
p.49	式(2.3-124) 右辺第 1 項	$= \frac{\mu_L \Delta i_v M_L}{\lambda_L (T_i - T_w)} + \frac{k_V \sqrt{\nu_L} (T_{vb} - T_i)}{k_L \sqrt{\nu_V} (T_i - T_w)} \left(- \frac{d\Theta_V}{d\eta_V} \right)$	$= \frac{\mu_L \Delta i_v M_L}{k_L (T_i - T_w)} + \frac{k_V \sqrt{\nu_L} (T_{vb} - T_i)}{k_L \sqrt{\nu_V} (T_i - T_w)} \left(- \frac{d\Theta_V}{d\eta_V} \right)$																																																																																																																
P.63	式(2.5-3) 左辺	$\frac{g \rho_L}{3 \nu_L} \frac{\partial \delta^3}{\partial z} + \frac{\sigma}{3 \nu_L} \frac{\partial}{\partial x} \left\{ \frac{\partial}{\partial x} \left(\frac{1}{r_i} \right) \delta^3 \right\} =$	$\frac{g \rho_L}{3 \nu_L} \frac{\partial \delta^3}{\partial z} - \frac{\sigma}{3 \nu_L} \frac{\partial}{\partial x} \left\{ \frac{\partial}{\partial x} \left(\frac{1}{r_i} \right) \delta^3 \right\} =$																																																																																																																
P.121	式(4.2-28) の下 2 行目	$G_D = Ga_D / (Pr_L Ja)$	$G_D = Ga_D Pr_L / Ja$																																																																																																																
P.132	図 4.3-6 図中の表の差し替え	<table border="1"> <thead> <tr> <th>冷媒</th> <th>σ</th> <th>ρ_L</th> <th>σ/ρ_L</th> </tr> <tr> <td></td> <td>(N/m)</td> <td>(kg/m³)</td> <td>(m³/s²)</td> </tr> </thead> <tbody> <tr><td>R1234yf</td><td>0.00442</td><td>1033.8</td><td>4.28×10^{-6}</td></tr> <tr><td>R32</td><td>0.00477</td><td>902.8</td><td>5.28×10^{-6}</td></tr> <tr><td>R134a</td><td>0.00613</td><td>1146.7</td><td>5.35×10^{-6}</td></tr> <tr><td>R123</td><td>0.0134</td><td>1254.3</td><td>9.43×10^{-6}</td></tr> <tr><td>R245fa</td><td>0.00121</td><td>1296.7</td><td>9.35×10^{-6}</td></tr> <tr><td>R1270</td><td>0.00486</td><td>1424.8</td><td>10.2×10^{-6}</td></tr> <tr><td>R290</td><td>0.00521</td><td>476.7</td><td>11.1×10^{-6}</td></tr> <tr><td>RE170</td><td>0.00895</td><td>636.1</td><td>14.1×10^{-6}</td></tr> <tr><td>R600a</td><td>0.00841</td><td>531.2</td><td>15.8×10^{-6}</td></tr> <tr><td>R600</td><td>0.0101</td><td>554.9</td><td>18.2×10^{-6}</td></tr> <tr><td>R717</td><td>0.0203</td><td>579.4</td><td>35.0×10^{-6}</td></tr> <tr><td>R718</td><td>0.0696</td><td>992.2</td><td>70.1×10^{-6}</td></tr> </tbody> </table>	冷媒	σ	ρ_L	σ/ρ_L		(N/m)	(kg/m ³)	(m ³ /s ²)	R1234yf	0.00442	1033.8	4.28×10^{-6}	R32	0.00477	902.8	5.28×10^{-6}	R134a	0.00613	1146.7	5.35×10^{-6}	R123	0.0134	1254.3	9.43×10^{-6}	R245fa	0.00121	1296.7	9.35×10^{-6}	R1270	0.00486	1424.8	10.2×10^{-6}	R290	0.00521	476.7	11.1×10^{-6}	RE170	0.00895	636.1	14.1×10^{-6}	R600a	0.00841	531.2	15.8×10^{-6}	R600	0.0101	554.9	18.2×10^{-6}	R717	0.0203	579.4	35.0×10^{-6}	R718	0.0696	992.2	70.1×10^{-6}	<table border="1"> <thead> <tr> <th>冷媒</th> <th>σ</th> <th>ρ_L</th> <th>σ/ρ_L</th> </tr> <tr> <td></td> <td>(N/m)</td> <td>(kg/m³)</td> <td>(m³/s²)</td> </tr> </thead> <tbody> <tr><td>R1234yf</td><td>0.00440</td><td>1034</td><td>4.26×10^{-6}</td></tr> <tr><td>R32</td><td>0.00449</td><td>893.0</td><td>5.03×10^{-6}</td></tr> <tr><td>R134a</td><td>0.00612</td><td>1147</td><td>5.33×10^{-6}</td></tr> <tr><td>R123</td><td>0.0134</td><td>1425</td><td>9.43×10^{-6}</td></tr> <tr><td>R245fa</td><td>0.0117</td><td>1297</td><td>9.04×10^{-6}</td></tr> <tr><td>R1270</td><td>0.00513</td><td>478.6</td><td>10.7×10^{-6}</td></tr> <tr><td>R290</td><td>0.00526</td><td>467.5</td><td>11.3×10^{-6}</td></tr> <tr><td>RE170</td><td>0.00927</td><td>636.3</td><td>14.6×10^{-6}</td></tr> <tr><td>R600a</td><td>0.00835</td><td>531.2</td><td>15.7×10^{-6}</td></tr> <tr><td>R600</td><td>0.0102</td><td>554.9</td><td>18.5×10^{-6}</td></tr> <tr><td>R717</td><td>0.0171</td><td>579.4</td><td>29.5×10^{-6}</td></tr> <tr><td>R718</td><td>0.0696</td><td>992.2</td><td>70.1×10^{-6}</td></tr> </tbody> </table> <p>(REFPROP Ver.9.1 による計算値)</p> <p>図 4.3-6 液充填角 ϕ_f に及ぼすフィン間隔 s および凝縮物質の影響, 40°C.</p>	冷媒	σ	ρ_L	σ/ρ_L		(N/m)	(kg/m ³)	(m ³ /s ²)	R1234yf	0.00440	1034	4.26×10^{-6}	R32	0.00449	893.0	5.03×10^{-6}	R134a	0.00612	1147	5.33×10^{-6}	R123	0.0134	1425	9.43×10^{-6}	R245fa	0.0117	1297	9.04×10^{-6}	R1270	0.00513	478.6	10.7×10^{-6}	R290	0.00526	467.5	11.3×10^{-6}	RE170	0.00927	636.3	14.6×10^{-6}	R600a	0.00835	531.2	15.7×10^{-6}	R600	0.0102	554.9	18.5×10^{-6}	R717	0.0171	579.4	29.5×10^{-6}	R718	0.0696	992.2	70.1×10^{-6}
冷媒	σ	ρ_L	σ/ρ_L																																																																																																																
	(N/m)	(kg/m ³)	(m ³ /s ²)																																																																																																																
R1234yf	0.00442	1033.8	4.28×10^{-6}																																																																																																																
R32	0.00477	902.8	5.28×10^{-6}																																																																																																																
R134a	0.00613	1146.7	5.35×10^{-6}																																																																																																																
R123	0.0134	1254.3	9.43×10^{-6}																																																																																																																
R245fa	0.00121	1296.7	9.35×10^{-6}																																																																																																																
R1270	0.00486	1424.8	10.2×10^{-6}																																																																																																																
R290	0.00521	476.7	11.1×10^{-6}																																																																																																																
RE170	0.00895	636.1	14.1×10^{-6}																																																																																																																
R600a	0.00841	531.2	15.8×10^{-6}																																																																																																																
R600	0.0101	554.9	18.2×10^{-6}																																																																																																																
R717	0.0203	579.4	35.0×10^{-6}																																																																																																																
R718	0.0696	992.2	70.1×10^{-6}																																																																																																																
冷媒	σ	ρ_L	σ/ρ_L																																																																																																																
	(N/m)	(kg/m ³)	(m ³ /s ²)																																																																																																																
R1234yf	0.00440	1034	4.26×10^{-6}																																																																																																																
R32	0.00449	893.0	5.03×10^{-6}																																																																																																																
R134a	0.00612	1147	5.33×10^{-6}																																																																																																																
R123	0.0134	1425	9.43×10^{-6}																																																																																																																
R245fa	0.0117	1297	9.04×10^{-6}																																																																																																																
R1270	0.00513	478.6	10.7×10^{-6}																																																																																																																
R290	0.00526	467.5	11.3×10^{-6}																																																																																																																
RE170	0.00927	636.3	14.6×10^{-6}																																																																																																																
R600a	0.00835	531.2	15.7×10^{-6}																																																																																																																
R600	0.0102	554.9	18.5×10^{-6}																																																																																																																
R717	0.0171	579.4	29.5×10^{-6}																																																																																																																
R718	0.0696	992.2	70.1×10^{-6}																																																																																																																

P.152	式(4.4-17) 右辺. プラントル数の指数	$0.04 Pr_L^{0.2}$	$0.04 Pr_L^{1/3}$
P.234	式(5.4-2) 式中の符号	$-\frac{W_{V0}}{\pi D} \frac{d}{dz} \{xi_{Vb} - (1-x)i_{Lb}\}$	$-\frac{W_{V0}}{\pi D} \frac{d}{dz} \{xi_{Vb} + (1-x)i_{Lb}\}$
P.235	式(5.4-3) 式中の添字	$-\frac{W_{V0}}{\pi D} \frac{dx}{dz} y_{Vi} - \beta_V (y_{Vi} - y_{Vb})$	$-\frac{W_{V0}}{\pi D} \frac{dx}{dz} y_{Vi} - \beta_V (y_{Vi} - y_{Vb})$
P.235	式(5.4-7) 式中の添字	$x = \frac{y_{Vb0} - y_{Lb0}}{y_{Vb} - y_{Lb}}$	$x = \frac{y_{Vb0} - y_{Lb}}{y_{Vb} - y_{Lb}}$
p.280	図 7.1-8 の横軸の記号	Quality, x [-] (訂正前の図)	$1 - x$ [-] (訂正後の図)
P.303	式(7.3-4) 右辺の数値	0.0023	0.0025

(訂正前の図)



(訂正後の図)

